イオン注入法によるアルミニウム・チタン・シリコン窒化不定比化合物薄膜 の成長過程のその場観察

In-situ Observation of Growth Processes of non-stoichiometric compound, Aluminum, Titanium, Silicon Nitride Thin Films due to Ion Implantation

粕壁善隆#,A), 霜田拓悠 A), 山本春也 B), 吉川正人 B)

Yoshitaka Kasukabe #,A), Hiroyuki Shimoda A), Syunya Yamamoto B), Masahito Yoshikawa B)

A) Global Learning Center, Tohoku University

B) Quantum Beam Science Directorate, JAEA

Abstract

Nitrogen ions (N_2^+) with 62keV were implanted into the 100-nm-thick Ti films of both hcp-Ti and TiH_x held at room temperature in the 400kV TEM equipped with EELS, connected to an ion accelerator at JAEA-Takasaki. Different from the formation of TiN_y by nitriding TiH_x without changing the Ti sublattice, hcp-Ti sublattices are epitaxially transformed into fcc-Ti sublattices during the formation of TiN_y due to the occupation by N atoms, partially inheriting the specific atomic arrangements of hcp-Ti.

Keyword: ion implantation, in-situ observation, non-stoichiometric compound

 $1 \cdot$ はじめに チタン(Ti)は、配位子として窒素(N)を取り込むこと により構造変態を起こし、N との不定比化合物を作

る。不定比化合物チタン窒化物(TiNy)は、窒素の量が増加するにつれて hcp 構造から NaCl 型構造に変化し、共有結合性、金属結合性、イオン結合性を合わせ持ち応用上からも興味ある物性を示す「「「「」」。例えば、共有結合性は Ti 窒化物の硬度や高温特性を向上させ、切削工具等の被覆材としての耐摩耗性の向上等に寄与する「2」、「4」。また、金属結合性による電気伝導性と共有結合性による化学的安定性を合わせ持つ特性は、シリコン基板のアルミニウム系配線デバスの電気伝導性拡散障壁層への応用の際に重要となる「6」・「13」。

シリコン・チタン窒化物は、次世代電子デバイスの高誘電薄膜材料の重要な素材として注目されている。非晶質 Si₃N₄ はバンドギャップが大きいことから CMOS 型トランジスターやフラッシュメモリーへ、六方晶の Si₃N₄ は軽量かつ高温でも高強度を保つことから発電用のエンジン部品、摺動材等への応用に向けた研究が盛んに行われている。

の Signal は に Signal は E Signal に Signal に

そこで、結晶性の良い $\mathbf{Si}_{3-x}\mathbf{Ti} \times \mathbf{N}_{4-y}$ 薄膜の合成法 が確立されれば、青色発光ダイオードとしての応用 も期待される。しかし、このように注目されている シリコン・チタン窒化物でもその形成機構が充分に 解明されていないため結晶性のよい $\mathbf{Si}_{3-x}\mathbf{Ti} \times \mathbf{N}_{4-y}$ 薄 膜の合成には至っていないのが国内外の現状であり、 上述の特性を充分にいかした材料開発には至ってい ない。

一方、イオン注入法、イオンビームアシスト蒸着法、マグネトロンスパッタリング法等により作製された Ti 窒化物薄膜のこれまでの研究から、これらいでは特性が Ti 窒化物薄膜層の基板との配かしない。 Ti 窒化物薄膜層の基板とのしかしながら、Ti 窒化物薄膜の配向性の制御およびエピタキシン窒化物薄膜の配向性の制御およびエピタキシン窒化物ではなく、とりわけ注入過程での最よいないではない。上述のように注目されているシリコれているかではない。上述のように注目されているシリコれずり、チタン窒化物でもその形成機構が充分に解明されずり、チタン窒化物でもその形成機構が充分に解明されていないため結晶性のよい Si3-x Ti x N4-y 等の機能性あり、よいなの特性を充分にいかした材料開発には至っていない。

本研究では、窒素イオン注入法によるチタン窒化 薄膜の形成過程を透過電子顕微鏡 (TEM) 法及び電子 エネルギー損失分光(EELS) 法でその場観察・評価し、 離散的変分 (discrete variational (DV)) -X α 法に よる分子軌道計算による電子状態の評価と合わせて 窒化 Ti 薄膜の形成機構における注入過程での最大 窒素濃度、注入温度の役割及び配向の制御性に関す る知見を得て、チタン・シリコン窒化薄膜の機能性 材料としての応用に関する情報を引き出すことを目 指している。これらの窒化物が形成される過程で起 こる結合状態の動的変化に関する知見から、電気的

[#]kasukabe@insc.tohoku.ac.jp

[15008]

特性や硬度などの物性の制御に関する情報を得て立方晶スピネル型構造を含めたシリコンおよびチタンの窒化物の不定比物性と高機能化に関する有用な指針を得る。なお、実験に際して Ti 等は大気との反応性が高いため、イオン注入後大気に曝すことなく薄膜の構造および電子状態をその場観察・評価する必要があり、日本原子力研究開発機構イオン照射研究施設(TIARA)の加速器結合型多機能分析電子顕微鏡[14]を主に使用した。

2. 実験方法

超高真空中(~4x10-9Torr)で NaCI (001)基板表面を 400°Cで 20 分間加熱清浄化した NaCI (001)面上に、RHEED でその場観察しながら電子線加熱蒸着法により室温で Ti 薄膜を作製する 蒸着速度は 10nm/min、膜厚は 100nm であった。作製した膜厚 100nm の Ti 薄膜に室温で 62keV の N +イオンを注入した際の膜の結晶構造の変化を TEM でその場観察し、蒸着 Ti 薄膜の原子配列をうまく継承する変態に伴って TiNyが形成

される過程を明らかにする。イオン注入は主として日本原子力研究開発機構高崎量子応用研究所イオン照射研究施設(TIARA)の加速器結合型 400kV 多機能分析電子顕微鏡内で行った。蒸着 Ti 薄膜に室温で 62keV の窒素イオン(N_2^t)を試料表面の垂線に対して 30° の角度で注入した。これらの注入イオンの 100nmの Ti 膜内での平均飛程と深さ分布を TRIM コードを用いたモンテカルロシミュレーションにより評価しほとんどの注入粒子が膜内に留まっているエネルギーとして注入エネルギーを設定した。

Ti 薄膜中の注入原子濃度はファラデーカップの電 流値から計算される注入量から見積もった。本研究 におけるイオンの最大注入量は $6<math>\times$ 10¹⁷ 個/cm² であ り、これは注入原子とチタン原子の比率が 1.06 の場 合に相当する。加速器結合型 400kV TEM(JEOL 4000FX) 中で窒素イオンを Ti 薄膜に注入しながらその場観 察を行い、結晶構造の変化を明らかにした。また、 400kV TEM に付属する電子エネルギー損失分光装置 (EELS)により、Ti 薄膜の窒化素過程における電子 状態変化をその場観察・評価する。特に、窒素イオン の注入とともにプラズモンを励起することによる損 失ピークの化学シフトに着目する。さらに、内殻の 電子の励起による損失ピーク、特にNのKおよび Ti の $L_{2,3}$ ピークの窒素注入量による変化に注意を払う。 これらの実験による電子状態 (結合状態)の変化の 観察結果および分子軌道計算結果に基づき、窒化チ タンの形成機構及び物性発現機構等についての知見 を得る。

3・結果と考察

3.1 イオン注入による蒸着 Ti 薄膜の窒化 室温で作製した蒸着 Ti 薄膜の TEM 観察結果の一例を図 1 に示す。(a)は(b)の明視野像の領域からの電子回折図形である。この回折図形を解析した結果、蒸着 Ti 薄膜は(110)配向の CaF₂型 TiH₂(x≒1.5^[15];

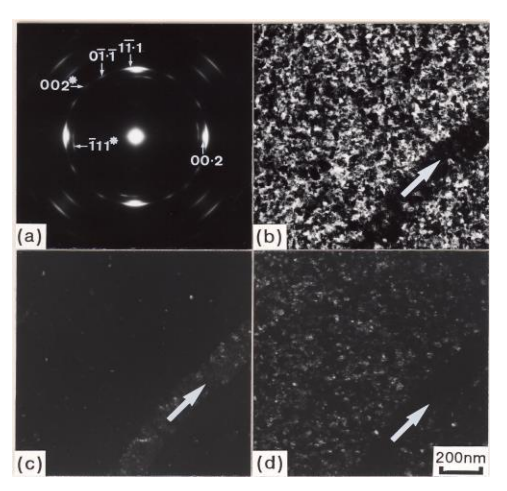


Figure 1 ED pattern (a) and BF image (b) were taken from a deposited Ti film. DF images (c) and (d) were taken with the 002 * of TiH_x and $1\bar{1}\cdot 1$ reflections of hcp-Ti, respectively.

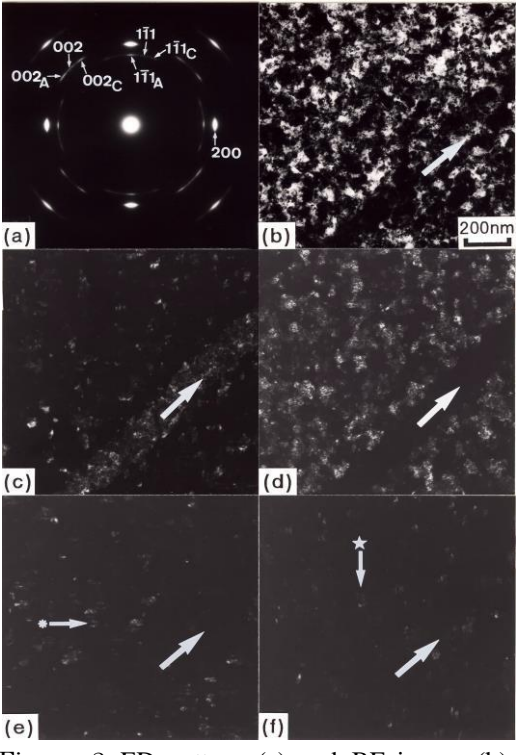
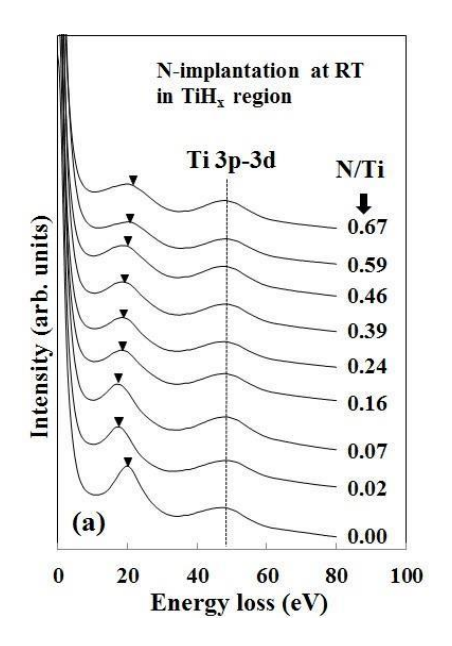


Figure 2 ED pattern (a) and BF image (b) were taken from a N-implanted Ti film with N/Ti=1.06. DF images (c), (d), (e) and (f) were taken with the 002, 002_A, 002_C reflections, 200 reflection, 002_A reflection and 002_C reflection of TiN_v, respectively.

TIARA の加速器に結合した TEM 内で→蒸着 Ti 薄膜 に 62keV の № イオンを注入し、窒素の注入過程にお ける薄膜の構造と電子状態の変化を TEM と EELS に よりその場で観察・評価した。室温で作製した Ti 薄 膜に N2+イオンを N/Ti=1.06 まで注入した時の TEM 観察結果の一例を図2に示す。図2(a)は(b)の明視 野像の領域からの電子回折図形である。この回折図 形を解析した結果、この窒化 Ti 薄膜には NaCl 型 TiN_y(格子定数: a=0.423 nm)のみが成長していて、 優先的に成長した(001)配向の TiNy と(110)配向の TiN_vのみが存在していることが分かった。前者は4 回対称性の強い反射(たとえば 200 反射)を、後者 は 002、111で示すような弱い反射をもたらす。それ らの配向関係は前者が(001)TiN_y//(03·5)Ti かつ 「10]TiNy//[21·0]Ti 後者は(110)TiN_y//(110)TiH_x かつ[001]TiNy// [001]TiHxである。200 反射を用い た暗視野像が(d)である。これより、(001)配向の TiN_v は(b)で矢印で示す帯状の領域の外側に、未注入の蒸 着 Ti 膜では(03·5)配向の hcp-Ti が成長していた領 域に、優先的に成長していると判断される。これは、 後で述べるように、(001)配向の TiNyが(03・5)配向 の hcp-Ti の窒化による "エピタキシャル"変態過程 により形成されることを示している。(110)配向の TiNyには面内で±9°回転した結晶粒が存在してお り、(a)では -9 °回転したものを下付の" A" で、 +9 ° 回転したものを下付の" C" で示してある。 ±9 °回転した結晶粒からの反射を含めた 002、002_A、 002cによる暗視野像が (c)である。(e)と(f)は、そ れぞれ 002Aと 002cによる暗視野像である。これらか ら、(110)配向の TiNy は(b)で矢印で示す帯状の領域 に成長していて、回転した(110)配向の TiNy は帯状 の領域の外側で、(03・5)配向の hcp-Ti が成長して いた領域に、成長していると判断される。(110)配向

の TiNy は窒素注入前の TiHx から水素が脱離し、不安定となった fcc-Ti 副格子の八面体位置に窒素を取り込むことで作られると考えられる。一方、回転した(110)配向の TiNy は($21 \cdot 0$)配向の hcp-Ti の窒化による "エピタキシャル" 変態過程により形成されることが明らかとなった。

3.2 蒸着 Ti 薄膜の窒化過程での EELS 観察 図 3 に 室温で蒸着した Ti 薄膜に窒素を注入した ときの EELS スペクトルの変化を示す。(a)、(b)は注



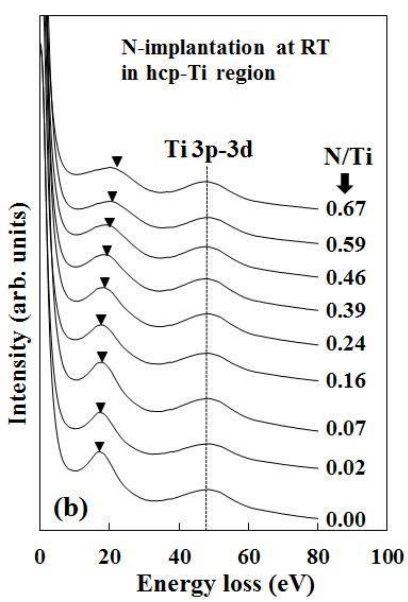
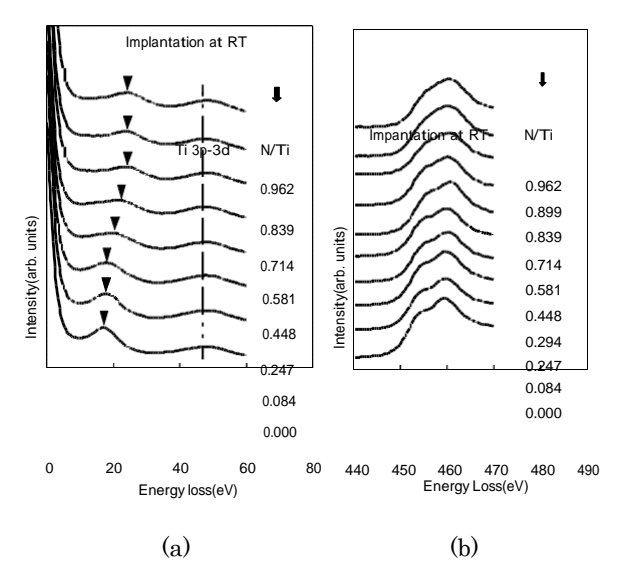


Figure 3. Variation of EELS spectra with the N-concentratin (a) in TiH_x region and (b) in hcp-Ti region. Solid triangles and solid lines indicate the energy loss peaks due to plasmon excitation and due to the Ti 3p-3d resonant photoemission.

入前には(110)配向 TiH_x と $(03 \cdot 5)$ 配向および $(21 \cdot 0)$ 配向の hcp-Ti がそれぞれ成長していた領域から得られたものである。両図とも Ti3p-3d で示す損失ピーク (約 47eV) は Ti の 3p と 3d の電子による共鳴光電子放出、すなわち、



(24.5eV)は、Pflüger et al.による TiN のバルク

Figure 4. Variation of the energy loss peaks due to plasmon excitation with the N-concentratin (a) and in TiH_x region and due to electron exitation of $\text{Ti2p}\ (L_{2,3})$.

プラズモンの値(24.9eV)とほぼ一致している $^{[1]}$ 。 窒素注入過程での $^{[1]}$ 0度($^{[1]}$ 12p($^{[1]}$ 23)電子励起による損失ピークの変化を図 $^{[1]}$ 4(b)に示す。 $^{[1]}$ 5p($^{[1]}$ 25)電子励起による損失ピークの分解能は通常より明瞭ではないが、これは薄膜の厚さが $^{[1]}$ 600mと厚く、多重散乱が起こっているためである。図 $^{[1]}$ 76による2つの損失ピークそれぞれ半値幅が窒素 てんともに広くなり、ピークの分離が曖昧となったともに広くなり、ピークの分離が曖昧となったの記起ともに広くなり、これは、 $^{[1]}$ 76に関することが分かる。これは、 $^{[1]}$ 76による、 $^{[1]}$ 76による。 $^{[1]}$ 76による、 $^{[1]}$ 76による。 $^{[1]}$ 76による。 $^{[1]}$ 76による、 $^{[1]}$ 76による。 $^$

参考文献

- [1] J. Pfluger, J. Fink, W. Weber, K. -P. Bohnen and G. Crecelius: Phys. Rev. B, 30(1984), 1155-1163.
- [2] J. E. Sundgren: Thin Solid Films, 128(1985), 21-44.
- [3] F. Elstner, A. Ehrlich, H. Giegengack, H. Kupfer and F. Richter: J. Vac. Sci. & Technol. A, 12(1994), 476-483.
- [4] L. Jiang, H. Hanninen, J. Paro and V. Kauppiene: Metall. & Mater. Trans. A, 27(1996), 2796-2808.
- [5] D. C. Kothari, P. Scardi, S. Gialanella and L. Guzman: Philos. Mag. B, 61(1990), 627-637.
- [6] K.-Y. Min, M. Tarutani, M. Inoue and R. Shimizu: Jpn. J. Appl. Phys., 33(1994), 3566-3570.
- [7] K.-Y. Min, S. Hohmann and R. Shimizu: Thin Solid Films, 295(1997), 1-4.
- [8] J. Narayan, P. Tiwari, X. Chen, J. Singh, R. Chowdhury and T. Zheleva: Appl. Phys. Lett., 61(1992), 1290-1292.
- [9] C. G. H. Walker, J. A. D. Matthew, C. A. Anderson and N. M. D. Brown: Surf. Sci., 412/413(1998), 405-414.
- [10] R. Banerjee, K. Singh, P. Ayyub, M. K. Totlani and A. K. Suri: J. Vac. Sci. & Technol. A, 21(2003), 310-317.
- [11] C.-S. Shin, D. Gall, N. Hellgren, J. Patscheider, I. Petrov and J. E. Greene: J. Appl. Phys., 93(2003), 6025-6028.
- [12] K. Sano, M. Oose and T. Kawakubo: Jpn. J. Appl. Phys., 34(1995), 3266-3270.
- [13] J. Bottiger, j. Chevallier, J. H. Petersen, N. Schell, W. Matz and A. M cklich: J. Appl. Phys., 91(2002), 5429-5433.
- [14] H. Abe, H. Naramoto, K. Hojou and S. Furuno: JAERI-Research, 96-047(1996), 1-18.
- [15] A. Chretien, W. Freundlich, and M. Bichara: Compt. Rend., 238(1954), 1423-1424.
- [16] I. leR. Strydom and S. Hofmann: J. Electron Spectrosc. Relat. Phenom., 56(1991), 85-103.
- [17] J. L. Robins and J. B. Swan: Proc. Phys. Soc. (London), 76(1960), 857-869.